

А. С. Задорин, С. А. Зайцев
(Томск)

МОДУЛЯЦИЯ КВАЗИМОНОХРОМАТИЧЕСКОГО СВЕТОВОГО ПУЧКА В ПОЛЕ АКУСТИЧЕСКОГО СИГНАЛА

Исследованы особенности модуляции звуковым пучком статистически стационарного, квазимонохроматического светового излучения в анизотропной среде. В приближении заданного поля установлены аналитические выражения, определяющие связь модулирующего сигнала с интенсивностью дифрагированного пучка в различных точках дальней зоны. Отмечено существенное влияние геометрии дифракции, а также упругой и оптической анизотропии среды на модуляционные показатели процесса. Показано, что наилучшие показатели по полосе частот и глубине модуляции немонахроматического светового пучка следует ожидать при анизотропной дифракции, когда световые пучки распространяются вблизи оптической оси кристалла. Установлено, что снижение пространственной когерентности опорного пучка в общем случае приводит к затягиванию переходного процесса.

В последние годы в акустооптике получили распространение квазимонохроматические и немонахроматические источники света, например, твердотельные и полупроводниковые лазеры, светодиоды и т. п. [1]. Следует ожидать, что усложнение спектрального состава указанных источников по сравнению со спектром газовых лазеров, работающих в одночастотном режиме, может оказать влияние на модуляционные характеристики акустооптических устройств. Таким образом, возникает задача исследования связи временной и пространственной когерентности опорного светового пучка с переходными процессами, возникающими при модуляции света звуком.

В литературе перечисленные вопросы исследованы далеко не полно [1—3]. Данное сообщение посвящено также изучению сформулированной выше задачи и имеет своей целью дополнить относящиеся к ней результаты.

Сформулируем постановочную часть задачи. Допустим, что в прозрачной кристаллической среде в направлении нормали q распространяется модулированный пучок звукового излучения $U(r, t)$ с амплитудой $U_m(r, t)$ и частотно-угловым спектром (ЧУС) $S_m(K_r, \Omega)$.

Как известно, звуковое поле пучка $U(r, t)$ вследствие упругооптического эффекта возмущает тензор диэлектрической проницаемости кристалла $\hat{\epsilon}$. В линейном приближении величину $\hat{\epsilon}$ можно выразить через амплитуду деформаций $U_m(r, t)$ поля $U(r, t)$:

$$\hat{\epsilon} = \hat{\epsilon}_0 + 0,5\Delta\hat{\epsilon}U_m(r, t)\exp[i(\Omega_0 t - K_0 r)] + \text{к. с.}, \quad (1)$$

где $\hat{\epsilon}_0$ — диэлектрическая проницаемость невозмущенного кристалла; Ω_0 , $K_0 = \Omega_0 q_0 / V$ — несущая частота и волновой вектор звука; V , q_0 — фазовая скорость и волновая нормаль звукового пучка; $\Delta\hat{\epsilon}$ — возмущение тензора $\hat{\epsilon}$ звуковой волной.

С помощью преобразования Фурье распределение $U_m(r, t)$ в (1) выразим через ЧУС $S(K_r, \Omega')$ пучка $U(r, t)$:

$$U_m(r, t) = \int_{-\infty}^{\infty} \int_{-\infty}^{\infty} S(K_r, \Omega') \exp[i(\Omega' t - \delta K r)] dK_r d\Omega' + \text{к. с.}, \quad (2)$$

где $\Omega' = \Omega - \Omega_0$; $\delta K = K - K_0$; $\bar{k}_r = |q_0 \times K|$. Параметры Ω' и δK в последнем выражении связаны между собой дисперсионным уравнением. Аппроксимируя данную зависимость вблизи Ω_0 линейным членом ряда Тейлора, получим

$$\Omega'(\delta K) = V_{\text{гр}} \delta K, \quad (3)$$

где $V_{гр}$ — вектор групповой скорости пучка $U(r, t)$. С учетом (3) соотношение (2) можно переписать так:

$$U_m(r, t) = \int_{-\infty}^{\infty} \int_{-\infty}^{\infty} S(K_r, \Omega') \exp[i(V_{гр}t - r) \delta K] dK_r d\Omega' + \text{к. с.} \quad (4)$$

Заметим, что ввиду узкополосности пучка $U(r, t)$ зависимость $S(K_r, \Omega')$ в (4) можно разделить по переменным Ω' и K_r , т. е.

$$S(\Omega', K_r) = F(\Omega') S_m(K_r) \quad (5)$$

($S_m(K_r)$, $F(\Omega')$ — угловой и частотный спектры звукового пучка).

Возмущение диэлектрической проницаемости среды приводит к рассеянию опорного светового поля ξ_0 , освещающего область локализации U , в дифракционные порядки. Последующий анализ сосредоточим на сравнительно частном, однако наиболее важном для практики режиме акустооптического взаимодействия (АОВ) — режиме брэгговской дифракции, при котором основной энергообмен происходит между двумя световыми пучками — опорным $\xi_0(r, t)$ и дифрагированным $\xi_1(r, t)$ (рис. 1). При этом опорный пучок будем считать статистически квазиоднородным и стационарным с заданными временной $R_r(\tau)$ и пространственной $R_s(s)$ корреляционными функциями. Поля обоих пучков представим соответствующими ЧУС плоских волн $E_m(\omega, k)$, каждая компонента которых определяется амплитудой E_m , частотой ω и волновым вектором k . Ввиду стационарности поля ξ_0 компоненты $E_{m0}(\omega)$ в его частотном спектре не коррелируют между собой [4], т. е.

$$\langle E_{m0}(\omega_0, k_0) \tilde{E}_{m0}(\omega_0, k_0) \rangle_T = G_0(\omega_0, k_0) \delta(\omega_0 - \omega'_0), \quad (6)$$

где $\delta(x)$ — дельта-функция, угловые скобки $\langle \dots \rangle$ означают усреднение по времени, а знаком \sim здесь и далее помечены комплексно-сопряженные величины. Последнее соотношение определяет энергетический спектр опорного пучка $G_0(\omega, k_0)$, связанный, как известно, с корреляционной функцией $R_r(\tau)$ обратным преобразованием Фурье. Пространственное распределение случайного поля $\xi_0(r)$ разложим в ряд в некоторой полной системе ортогональных функций $\{\Phi_n(r)\}$. Данную систему удобно подобрать таким образом, чтобы соответствующие коэффициенты разложения на апертуре пучка были δ -коррелированы. В общем случае названным требованиям удовлетворяет лишь разложение Карунена — Лоэва, связывающее систему $\{\Phi_n(r)\}$ с собственными функциями интегрального уравнения, ядром которого является корреляционная функция $R_r(r_1, r_2)$ [4]. Однако если поле ξ_0 квазиоднородно, а его энергетический спектр равномерно распределен в угловом интервале $\Delta\varphi$, то в качестве искомого разложения может быть использована более простая интерполяционная формула

$$E_0(x) = \sum_{n=-\infty}^{\infty} E_0 \left(\frac{\bar{\lambda} n}{2\Delta\varphi} \right) \text{sinc} \left(\frac{2\pi}{\bar{\lambda}} \Delta\varphi x - n\pi \right), \quad (7)$$

где $\text{sinc}(x) = \sin(x)/x$, $\bar{\lambda}$ — средняя длина волны квазимонохроматического опорного пучка; x — координата, отсчитываемая от центра апертуры ξ_0 в направлении, перпендикулярном оси пучка, и обобщающая теорему отсчетов на случайные процессы [4]. При этом

$$\left\langle E_0 \left(\frac{\bar{\lambda} i}{2\Delta\varphi} \right) \tilde{E}_0 \left(\frac{\bar{\lambda} j}{2\Delta\varphi} \right) \right\rangle_D = \delta(i - j), \quad (8)$$

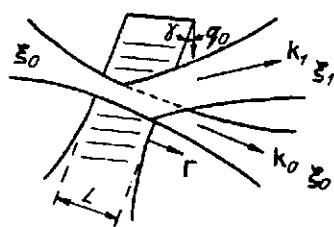


Рис. 1

здесь скобками $\langle \dots \rangle_D$ обозначено усреднение по координате x .

Физически соотношение (7) представляет $E_0(x)$ — суперпозицию статистически независимых парциальных полей E_0 источников, в основном сосредоточенных на площадках когерентности с размерами $d_0 \approx \bar{\lambda}/\Delta\varphi$ (радиус корреляции) и разнесенных друг от друга на расстояние $\delta = \bar{\lambda}/(2\Delta\varphi)$. Каждое такое парциальное поле в отдельности пространственно когерентно и имеет одинаковое с другими полями пространственное распределение. Фактически в силу квазиоднородности поле $E_0(x)$ пространственно ограничено размером апертуры, поэтому число площадок когерентности, которое может быть размещено на этом интервале, а значит, и число членов ряда (7) можно ограничить величиной $N = 2D\Delta\varphi/\bar{\lambda}$. При этом следует иметь в виду, что входящая в данное выражение величина $\Delta\varphi$ на практике определяется не только пространственной когерентностью опорного пучка, но и угловой апертурой акустооптического модулятора и освещающей его оптической системы.

Следующее допущение будет касаться условий ортогональности (6), (8), точное выполнение которых имеет место лишь в случае усреднения подынтегральных выражений в бесконечных пределах. Однако используя соотношения (6), (8), в дальнейшем будем полагать, что они выполняются и в конечных интервалах усреднения, если последние существенно превышают значения времени и радиуса корреляции.

С учетом сделанных замечаний запишем выражение для ЧУС квазимонохроматического опорного светового пучка на границе области взаимодействия:

$$\xi_\alpha(r, t) = \sum_{n=0}^N \left[\int_{-\infty}^{\infty} \int_{-\infty}^{\infty} e_\alpha E_{na}(k_\alpha, \omega) \exp[i(\omega_\alpha t - k_\alpha r)] dk_\alpha d\omega + \text{к. с.} \right]. \quad (9)$$

Здесь $\alpha = 0, 1$; $\omega_\alpha, k_\alpha, e_\alpha, E_n(k_\alpha, \omega)$ — частота, волновой вектор, поляризация и амплитуда плосковолновой составляющей пучка, обусловленного изменением n -й площадки когерентности поля ξ_0 ; $k_{\alpha\tau}$ — тангенциальная составляющая k_α относительно плоскости, нормаль к которой N_α совпадает с осью пучка ξ_α ($k_{\alpha\tau} = |k_\alpha \times N_\alpha|$), связанная с углом Q_α между k_α и N_α соотношением

$$k_{\alpha\tau} = |k_\alpha^*| Q_\alpha, \quad (10)$$

где $|k_\alpha^*|$ — модуль k_α в направлении N_α . Описание обоих пучков в области взаимодействия представлено разложением (9) для $\alpha = 0, 1$, при этом допускается, что внутри возмущенного слоя амплитуды плоских волн E_{na} в (9) являются медленноменяющимися функциями координат и времени.

На основе названных приближений определим зависимость интенсивности пучка ξ_1 в любой точке дальней зоны от управляющего сигнала $U(t)$.

Решение между $\xi(r, t)$ и $U(t)$ найдем, разрешая уравнения Максвелла относительно полей (1) — (9) при соответствующих граничных условиях. При этом, учитывая слабое изменение амплитуд световых волн в пространстве и времени, решение волнового уравнения будем искать методом медленноменяющихся амплитуд (ММА). Прежде всего заметим, что при медленном изменении $U_m(r, t)$ границы возмущенной области в пределах пересечения взаимодействующих пучков приближенно можно считать плоскими, совпадающими с границами свободно распространяющегося монохроматического звукового пучка (см. рис. 1). Под медленностью изменения $U_m(r, t)$ здесь понимается отсутствие резких скачков амплитуды деформации звукового поля вдоль вектора q_0 в пределах области взаимодействия. В таком случае градиент амплитуды световых волн (9) направлен по нормали Γ к указанным плоскостям, т. е.

$$\text{grad} E_{na} = \Gamma \partial E_{na} / \partial l, \quad (11)$$

где l — координата, отсчитываемая вдоль вектора Γ .

Подставим (1), (4), (5), (9) в уравнение

$$\text{rot rot} \sum_\alpha \xi_\alpha = -\epsilon_0 \mu_0 \frac{\partial^2}{\partial t^2} \left(\sum_\alpha \hat{\epsilon} \xi_\alpha \right), \quad (12)$$

пренебрежем, следуя ММА, вторыми производными амплитуд $E_{m\alpha}$ по координатам и времени, умножим результат скалярно на e_0 , а затем на e_1 , учтем

$$\frac{\partial}{\partial t} \sum_{n=1}^N [E_{n0}^* \exp[i b_0 \omega' l]] = -i c_0 U(t) \sum_{n=1}^N \int [E_{n1}^* \exp[i b_1 \omega' l]] F(\Omega') \exp[\Delta K_{\Sigma 0} l] d\Omega', \quad (13)$$

$$\frac{\partial}{\partial t} \sum_{n=1}^N [E_{n1}^* \exp[i b_1 \omega' l]] = -i c_0 \tilde{U}(t) \sum_{n=1}^N \int [E_{n0}^* \exp[i b_0 \omega' l]] \tilde{F}(\Omega') \exp[-\Delta K_{\Sigma 1} l] d\Omega',$$

где $E_{m\alpha}^*(\omega')$ — фурье-трансформанта амплитуды $E_{m\alpha}(t)$:

$$E_{m\alpha}^*(\omega') = \frac{1}{2\pi} \int_{-\infty}^{\infty} E_{m\alpha}(t) \exp(-i\omega' t) dt; \quad (14)$$

$$\omega' = \omega - \omega_{\alpha}; \quad \alpha = 0, 1;$$

$$c_{\alpha} = k_0 (e_0 \Delta \varepsilon e_1) / [4 n_{\alpha} \cos \beta_{\alpha} (\Gamma N_{\Gamma \alpha})];$$

$$b_{\alpha} = \frac{n_{\alpha}}{c(\Gamma N_{\Gamma \alpha})};$$

$$\Delta K_{\Sigma \alpha} = \omega' (b_0 - b_1) - \Omega' b_{\alpha} + \Delta K;$$

$$\Delta K = k_0 - k_1 - K_0 + \delta K. \quad (15)$$

— вектор фазовой расстройки с модулем ΔK , направленным вдоль Γ [6], т. е. $\Delta K = \Delta K \Gamma$; k_0, c — модуль волнового вектора и скорость света в вакууме; $n_{\alpha}, b_{\alpha}, N_{\Gamma \alpha}$ — показатель преломления кристалла, угол сноса и лучевая нормаль для падающей ($\alpha = 0$) и дифрагированной ($\alpha = 1$) волн.

Легко видеть, что при $\omega' = \Omega' = 0$ система (13) сводится к уравнениям, описывающим АОВ в поле монохроматического звукового пучка.

Проанализируем слабое АОВ. В данном режиме дифракции изменения амплитуды и спектрального состава падающего светового пучка практически отсутствуют, т. е. $E_{m0}^*(l) = E_{m0}^*(l=0)$. Поэтому, интегрируя второе уравнение системы (13) по l и производя замену переменных $\omega' - \Omega' = \omega''$, получим

$$\xi_1^*(l, k_{r1}, \omega' + \Omega) = \sum_{n=1}^N E_{n1}^*(l, k_{r1}, \omega' + \Omega) = \sum_{n=1}^N \int_{-\infty}^{\infty} Z(\omega' - \omega'') E_{n0}^*(\omega'') d\omega'', \quad (16)$$

где $Z(\omega' - \omega'') = i c_0 F(\omega' - \omega'') \exp(-i b_1 (\omega'' + \Omega) l) S(\Delta K_{\Sigma})$. При выводе (16) мы воспользовались преобразованием Фурье, связывающим угловой спектр звукового пучка $S(K_r)$ с распределением $U_m(l)$:

$$S(\Delta K_{\Sigma}) = \int_0^L U_m(l) \exp[-i \Delta K_{\Sigma} l] dl, \quad (17)$$

где L — ширина звукового пучка в пределах области взаимодействия (см. рис. 1); $\Delta K_{\Sigma} = \Delta K' + b_1 \Omega'$; $\Delta K'$ — фазовая расстройка рассматриваемой плоской световой волны с центральной компонентой углового спектра звукового пучка, такая, что

$$k_0 - k_1 - K_0 + \Delta K' \Gamma = 0. \quad (18)$$

В дальнейшем нас будет интересовать связь модулирующего сигнала $U(t)$ с усредненной на интервале времени $T \gg \tau_c$ интенсивностью поля дифраги-

рованного пучка $I(l, k_r, t)$ в различных точках зоны Фраунгофера. В этой области поля, рассеянные различными площадками когерентности, лежащими в пределах объема АОВ, взаимно перекрываются, поэтому величину $I(l, k_r, t)$ можно определить пространственным усреднением интенсивностей названных источников:

$$I(l, k_r, t) = \langle \langle E(l, k_r, t) \tilde{E}(l, k_r, t) \rangle \rangle_D. \quad (19)$$

Входящая в данное выражение зависимость $E(l, k_r, t)$, согласно (14), связана с соотношением (16) обратным преобразованием Фурье. В таком случае из (9), (16) получим

$$I(l, k_{r1}, t) = \langle \langle \sum_{n=1}^N \sum_{m=1}^N \int \int \int_{-\infty}^{\infty} Z(\omega - \omega_\alpha) \bar{Z}(\omega' - \omega_\beta) E_{n0}^*(\omega_\alpha, k_r, t) \times \\ \times \tilde{E}_{m0}^*(\omega_\beta, k_r, t) \exp[i(\omega - \omega')t] d\omega_\alpha d\omega_\beta d\omega d\omega' \rangle \rangle_D. \quad (20)$$

В пределах применимости условий ортогональности (6), (8) формула (20) приводится к виду

$$I(k_r, t) = \sum_{n=1}^N I_n(k_r, t), \quad (21)$$

где

$$I_n(k_r, t, \omega) = \int i_{n0}(k_r, t, \omega) d\omega; \quad (22)$$

$i_{n0}(k_r, t, \omega)$ — модулированная интенсивность плосковолновой компоненты дифрагированного пучка, распространяющегося в направлении угла $Q = k_r/|k^*|$, обусловленная дифракцией ω -й частотной составляющей спектра опорного пучка n -й площадки когерентности. Величина $i_{n0}(k_r, t, \omega)$ в (22) связана с найденной выше амплитудой E_{n1}^* соотношением

$$i_{n0}(k_r, t, \omega) = E_n(k_r, t, \omega) \tilde{E}_n(k_r, t, \omega), \quad (23)$$

где $E_n(k_r, t, \omega) = \int Z(\omega - \omega') E_{n0}^*(k_r, \omega') \exp(i\omega' t) d\omega'$.

Соотношения (21) — (23) дают формальное решение поставленной задачи. Однако для использования их в практических расчетах необходимо установить связь входящих в (21) — (23) величин ΔK и Q_1 с параметрами опорного светового пучка: углом Q_0 , текущей частотой ω_0 , а также частотой звука $\Omega = \omega_0 - \omega_1$. С этой целью изменение векторов k_α в (15) вблизи N_α , соответствующей центральной частоте пучка ω^* , аппроксимируем первыми членами ряда Тейлора [6]:

$$k(\omega, Q_\alpha) = k_\alpha^*(\omega^*) + N_{гр\alpha} \frac{\partial}{\partial \omega} [k_0 n_\alpha(\omega)] \Delta\omega + m_\alpha x_\alpha, \quad (24)$$

где $m_\alpha, N_{гр\alpha}$ — базисные орты годографов R_α , направленные по касательной и нормали к R_α ; $\Delta\omega = \omega - \omega^*$; x_α — длина дуги годографа R_α , отсчитываемая от направления N_α . Взаимная ориентация входящих в соотношения (13) — (24) векторов поясняется рис. 2.

Учитывая узкополосность светового поля, будем считать, что диспергирующие свойства среды, определяемые коэффициентом $\xi_\alpha = \partial n_\alpha / \partial \omega$, постоянны в пределах линии излучения. Подставив (24) в (15), пренебрегая при этом слагаемыми второго порядка малости по $\Delta\omega$ и Q_α и умножив результат скалярно сначала на лучевую нормаль звука $Q_{гр}$, а затем на лучевую нормаль света $N_{гр1}$, можно найти зависимости Q_1 и ΔK от $Q_0, \Delta\omega, \Omega$. Опуская

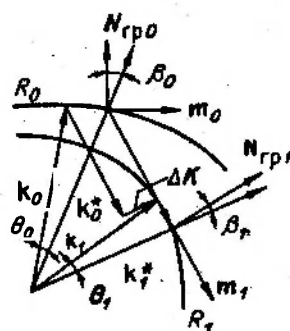


Рис. 2

промежуточные выкладки, подробное изложение которых приводится в [6], запишем окончательный результат:

$$Q_1(Q_0, \omega_0, \Omega) = A\Delta\omega + BQ_0 + C\Omega, \quad (25)$$

$$\Delta K(Q_0, \omega_0, \Omega) = D\Delta\omega + EQ_0 + R\Omega, \quad (26)$$

где

$$A = \left[\frac{(N_{rp0}q_{rp})\cos\beta_0(n_0 + \zeta_0\omega^*)}{(N_{rp1}\Gamma)n_1\omega^*} - \frac{(N_1q_{rp})(n_1 + \zeta_1\omega^*)\cos\beta_1}{(N_{rp1}\Gamma)n_1\omega^*} \right]; \quad (27)$$

$$B = \frac{|N_{rp0} \times q_{rp}| \cos\beta_1 n_0}{|N_{rp1} \times q_{rp}| n_1 \cos\beta_0}; \quad (28)$$

$$C = \frac{\cos\gamma \cdot \cos\beta_1}{V|k_1^*|(N_{rp1}\Gamma)}; \quad (29)$$

$$D = \left[\frac{(N_0 N_{rp1})(n_0 + \zeta_0\omega^*)}{c(\Gamma N_{rp1})} - \frac{(n_1 + \zeta_1\omega^*)\cos\beta_1}{c(\Gamma N_{rp1})} \right]; \quad (30)$$

$$E = \frac{k_0 n_0 |N_{rp0} \times N_{rp1}|}{\cos\beta_0(\Gamma N_{rp1})}; \quad R = \frac{(N_{rp1}q)}{V(N_{rp1}\Gamma)}. \quad (31)$$

Выразив с помощью последних соотношений Q_0 через Q_1 , а параметр k_{α} в (22) по формуле (10) через угол Q_α и разделив аналогично (5) ЧУС опорного пучка $E_{n0}^\omega(\omega', k_{\alpha 0})$ на сомножители $E_{n0}^\omega(\omega')$ и $E_{n0}^\psi(Q)$, определяющие соответственно частотный и угловой спектры поля E_{n0} , приведем соотношение для $E_n(t)$ в (23) к окончательному виду:

$$E_n(Q_1, t, \omega) = \int_{-\infty}^{\infty} E_{n1}^\omega(Q_1, \omega, \omega', t) \exp(i\omega' t) d\omega', \quad (32)$$

где

$$\begin{aligned} E_{n1}^\omega(Q_1, \omega, \omega', t) = & c_0 F(\omega - \omega') E_{n0}^\omega(\omega') E_{n0}^\psi((Q - A)\omega/B + C(\omega - \omega')/B) \times \\ & \times S_m[(D - AE/B)\omega + (R - CE/B)(\omega - \omega') + EQ_1/B] \times \\ & \times \exp\{0,5iL[(D - AE/B)\omega + (R - CE/B)(\omega - \omega') + EQ_1/B]\}. \end{aligned} \quad (33)$$

Формулы (21) — (33) позволяют рассчитать модулирующее воздействие сигнала $U(t)$ на интенсивность любой плосковолновой составляющей пучка ξ_1 . В частном случае некогерентного поля ξ_0 , когда $E_{n0}^\omega \approx \delta(\omega)$, формулы (32), (33) преобразуются в известные соотношения [5].

Проведем качественный анализ полученного решения. Прежде всего проанализируем частотные искажения огибающей монохроматических составляющих дифрагированного пучка. В соответствии с (33) для выбранного угла Q и частоты ω условия неискаженной модуляции светового поля $E_n(t, Q)$ сигналом $U(t)$, охватывающим полосу частот $\Delta\Omega$, имеют вид

$$BK^*\Delta Q^* \geq Q - A\omega + C\Delta\Omega, \quad (34)$$

$$K\Delta\varphi^* \geq (D - AE/B)\omega + (R - CE/B)\Delta\Omega + EQ/B, \quad (35)$$

где $\Delta\varphi^*$, ΔQ^* — значения ширины угловых спектров акустического и опорного светового пучков соответственно.

Условия (34), (35) фактически определяют максимально допустимый размер взаимодействующих пучков в области их перетяжек, так как эти последние обратно пропорциональны соответствующим углам расходимости ΔQ^* или $\Delta\varphi^*$. Необходимо отметить, что одновременное выполнение условий

(34), (35) требуется лишь при модуляции поля $E_1(t)$ сигналом $U(t)$. В других ситуациях, например, когда акустооптический эффект используется для построения пространственно-временных модуляторов света, функциональные возможности которых определяются только полосой частот АОВ, ограничению подлежит лишь апертура звукового пучка.

Как видно из (34), (35), требования к угловой расходимости взаимодействующих пучков весьма существенно зависят от величины коэффициентов A, B, C, D и E , связанных соотношениями (25)—(31) с геометрией АОВ и физическими свойствами среды взаимодействия. В данной связи практический интерес представляют ситуации, когда один или несколько сомножителей при переменных Q, ω и $\Delta\Omega$ в (35) обращаются в нуль. В этом случае отпадает необходимость фокусирования акустического пучка, следовательно, имеется возможность повысить эффективность дифракции за счет концентрации энергии звукового поля в узкий угловой спектр. Соответствующая геометрия дифракции АОВ при этом определяется соотношениями (27)—(31).

Воспользуемся данными соотношениями, например, для отыскания геометрии АОВ, обеспечивающей максимальную полосу частот пространственно-временного модулятора, освещаемого квазиплоской волной. В указанных условиях соотношение (35) преобразуется к виду $\Delta\varphi^* \geq (N_{гp1}Q) \times \Delta\Omega / KV(N_{гp1})$. Отсюда видно, что искомая геометрия АОВ совпадает с известным условием широкополосной анизотропной дифракции [5]:

$$N_{гp1}Q = 0. \quad (36)$$

Если же речь идет о модуляции светового поля или широкополосного сканирования изображения, т. е. ситуациях, когда угловой спектр опорного пучка конечен, то слабая расходимость звука допустима, если коэффициенты $(R - CE/B)$ и E/B при переменных $\Delta\Omega$ и Q в (36) обращаются в нуль. Соответствующие условия широкополосной модуляции согласно (27)—(31) принимают вид

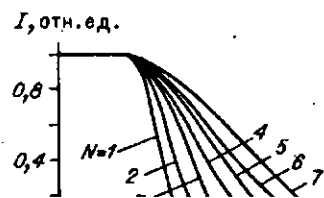
$$\begin{cases} N_{гp0}Q = 0, \\ N_{гp0} \times N_{гp1} = 0. \end{cases} \quad (37)$$

Физически условия (37) интерпретируются, во-первых, как условие анизотропной дифракции и, во-вторых, как требование компланарности участков волновых поверхностей, описывающих изменение векторов k , по угловым спектрам взаимодействующих световых пучков. Поскольку в общем случае $n_1 \neq n_0$, то последнее означает, что условия широкополосной модуляции (37) могут выполняться только вблизи пересечения указанных волновых поверхностей, т. е. оптических осей кристалла [7]. Заметим, что в одноосных кристаллах частота широкополосной анизотропной дифракции в направлении оптической оси равна нулю. Поэтому какое-либо практическое значение рассматриваемый режим АОВ может иметь лишь в оптически двуосных средах.

В случае дифракции немонахроматического опорного пучка его частотные составляющие согласно (21)—(32) модулируются в области АОВ независимо друг от друга, а затем, складываясь по интенсивности, образуют дифрагированный световой пучок. При этом уровень эффективности дифракции для каждой такой составляющей в общем случае различен. Другими словами, упругая волна оказывает модулирующее воздействие лишь на некоторый ограниченный участок $\Delta\omega^*$ частотного спектра опорного пучка. Из (33) можно заключить, что величина $\Delta\omega^*$ связана линейной зависимостью с шириной углового спектра упругой волны

$$\Delta\omega^* \leq \frac{K\Delta\varphi^*}{(D - AE/B)} - \left(R - \frac{CE}{B}\right)\Delta\Omega - \frac{E}{B}Q \quad (38)$$

и меняется при вариации угла дифракции Q и частоты звука Ω . Глубина указанных изменений определяется значением множителей при $\Delta\varphi^*$ и $\Delta\Omega$ в



(38), т. е. свойствами среды и геометрией АОВ. Как видно из (38), однородная широкополосная модуляция всего углового спектра немонахроматического светового пучка возможна лишь в условиях (37). В заключение рассмотрим эволюцию эффективности АО-модуляции при изменяет число членов ряда, каждый из которых описывает изменение во времени эффективности дифракции светового пучка, излученного какой-либо одной площадкой когерентности, т. е. парциальный отклик $I_n(t)$. В соответствии с (7) все площадки когерентности имеют одинаковый размер, равномерно распределены по апертуре опорного пучка и смещены друг относительно друга на расстояние δ в направлении распространения звуковой волны. В данных условиях отклики $I_n(t)$ могут различаться между собой только временной задержкой и амплитудой, так что

$$I_n(t) \approx I_1(t - n\delta/V), \quad (39)$$

причем при равномерном распределении интенсивности поля последнее соотношение обращается в равенство. Если полученный результат подставить в (21), то становится ясно, что снижение пространственной когерентности опорного пучка на ΔN , при сохранении его угловой апертуры, приводит к затягиванию процесса формирования суммарного отклика $I(t)$ на время $\delta\Delta N/V$. Этот вывод подтверждается приведенными на рис. 3 расчетными зависимостями отклика акустооптического модулятора на прямоугольный модулирующий сигнал от параметра N опорного пучка. Расчет проводился по формулам (21)–(33) для модулятора из парателлуриата, возбуждаемого акустическим пучком с параметрами $V = 0,66$ км/с и $L = 1$ мм при ширине линии опорного излучения $\Delta l = 1$ мм.

СПИСОК ЛИТЕРАТУРЫ

1. Парыгин В. Н., Балакшиев В. И. Оптическая обработка информации.—М.: Радио и связь, 1987.
2. Гусев О. Б., Клудзин В. В. Акустооптические измерения.—Л.: Изд-во ЛГУ, 1987.
2. Lacoort A. Acousto-optic processing in white light // Opt. Commun.—1985.—56, N 4.—P. 226.
3. Бриганец А. В., Задорин А. С., Шарангович С. Н. Анализ переходных процессов в акустооптическом модуляторе при немонахроматическом освещении // Изв. вузов. Физика.—Деп. в ВИНТИ 02.03.89, № 1456-В89.
4. Левин Б. Р. Основы статистической радиотехники.—М.: Радио и связь, 1989.
5. Задорин А. С., Шандаров С. М., Шарангович С. Н. Акустооптические свойства монокристаллов.—Томск: Изд-во ТГУ, 1987.
6. Глазов Г. Н., Задорин А. С. Дифракция случайного светового излучения в поле немонахроматического звукового пучка в анизотропной диспергирующей среде // Изв. вузов. Радиофизика.—1989.—№ 1.
7. Богданов С. В., Сапожников В. К. Акустооптическое взаимодействие в оптически двуосных кристаллах // Автометрия.—1989.—№ 5.

Поступила в редакцию 3 июля 1991 г.